# NR/SBR 混炼胶挤出流动中自然 收敛角的计算

#### 梁基照

(华南理工大学 510641)

摘要 考察了 NR/SBR 共混胎面胶在毛细管挤出流动中的末端效应。基于以前的工作 证提出了粘 弹性流体自然收敛半角方程,并估算了试样在挤出条件下的人口自然收敛角 $(2a_0)$ 。结果表明, $2a_0$  值随 着温度的升高而有所增大,随着剪切速率的增加而减小。

关键词 混炼胶,收敛流动,口型,挤出

当聚合物流体从大截面流道进入小截面流道时,由于流道截面的突然收缩,使得流体的流线不平行而形成一个锥状边界,此即为人口收敛流动。边界流线在人口处的切线与流道中心线所形成的夹角  $\alpha_0$ ,称为流体人口自然收敛半角,它不一定等于流道入口半角 $\theta$ 。当  $\alpha_0$ < $\theta$  时,流体在流道入口前区会形成一个环流区,并在区内作涡旋运动。

收敛流动是聚合物加工成型过程中常见的流型,如口型挤出和喷嘴注射等。流体的环流容易诱发不稳定流动现象,并导致额外的能耗,因而一直成为聚合物加工流变学的研究热点之一。Ma等人[2]采用示踪技术,观察了弹性体及其炭黑填充胶料在口型挤出中的人口流型,发现在人口角为180°的口型流动中,显示出收敛流线流动。  $\alpha_0$  定量地描述了流体在流道人口前区的流动形态,但有关对其定量估算的研究报道则相对较少,尤其是对于橡胶及其共混物。本文拟就这方面作初步的探讨。

#### 1 理论分析

设入口收敛流动的边界流线构成如图 1 所示的曲边锥体。由于轴对称,这种锥状体的 母线可用含有变量 z 和 r 的方程表示。设

$$r = f(z) \tag{1}$$

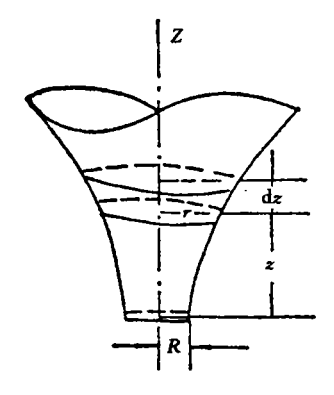


图 1 入口收敛边界流线

满足边界条件: 当 z=0 时, r=R。并设流体的人口流动服从幂定律。考虑到聚合物流体流动中的粘弹行为和可能发生的粘-滑运动,根据力的平衡关系和最小能原理,可导出如下的人口收敛流动边界流线的微分方程[1]:

$$\frac{\mathrm{d}r}{\mathrm{d}z} = \frac{1}{e} \left(\frac{R}{r}\right)^{3(n-1)/2} \left\{ \frac{4}{3(n+1)} \left[ 1 - \left(\frac{R}{R_p}\right)^{3(n+1)/2} \right] + \frac{2\xi}{3(n-1)} \left[ \left(\frac{R_p}{R}\right)^{3(n-1)/2} - 1 \right] \right\}$$
(2)

式中,n 是流动行为指数,e 为人口校正因子 (表征流体弹性的重要参数),R 和  $R_p$  分别为 口型及料筒的半径, $\epsilon$  是与流体的粘附性能 有关的系数。一般  $\epsilon$  约为 0.8。

微商 dr/dz 实质上是流体人口收敛边界 流线上任意点处切线对流道轴线的斜率。于 是,由导数的几何意义,式(2)可改写成

$$\alpha = \operatorname{tg}^{-1} \left\{ \frac{1}{e} \left( \frac{R}{r} \right)^{3(n-1)/2} \left\{ \frac{4}{3(n+1)} \left[ 1 - \left( \frac{R}{R_p} \right)^{3(n+1)/2} \right] + \frac{2\xi}{3(n-1)} \left[ \left( \frac{R_p}{R} \right)^{3(n-1)/2} - \frac{1}{3(n-1)} \right] \right\}$$
(3)

此即为粘弹性流体自然收敛半角方程。当r = R 时,即得  $\alpha_0$  的表达式为

$$\alpha_0 = tg^{-1} \left\{ \frac{4}{3e(n+1)} \left[ 1 - \left( \frac{R}{R_p} \right)^{3(n+1)/2} \right] + \frac{2\xi}{3e(n-1)} \left[ \left( \frac{R_p}{R} \right)^{3(n-1)/2} - 1 \right] \right\}$$
 (4)

若  $R_p \gg R$ ,则式(4)可近似写为

$$\alpha_0 = tg^{-1} \left[ \frac{2}{3e} \left( \frac{2}{n+1} + \frac{\xi}{1-n} \right) \right]$$
 (5)

#### 2 结果与讨论

#### 2.1 试验测量数据

引用文献 3 和 4 发表的 NR/SBR 共混 胎面胶毛细管挤出试验测量数据,考察其流 变行为。表 1 列出了试样在挤出条件下的总 压力降( $\Delta P$ )的实测值。表 1 中,V 是柱塞下 降速率。

表 1 试样的总压力降  $\Delta P$  MPa

口型长径比 <i>L/D</i> ( <i>D</i> =2mm)	V⋅mm • min <sup>-1</sup>					
	10	15	20	25	30	
温度为100(						
2.5	0.732	0.972	1.143	1.280	1.372	
5.0	1.006	1.154	1.349	1.463	1.623	
10.0	1.554	1.646	1.989	2.137	2, 217	
温度为 110 0						
2.5	0.743	0.914	1.017	1.097	_	
7.5	1.475	1.600	1.817	1.875	1.966	
10.0	1.600	1.737	1.966	2.012	2.080	

#### 2.2 末端压力损失

一般来说,聚合物流体的人口收敛流动包括拉伸流和剪切流,产生相应的弹性能量贮存和粘性耗散,导致明显的人口压力损失 ( $\Delta P_{\rm en}$ );在口型的出口流动中,残余应力存在及速度重整,造成一定的出口压力损失 ( $\Delta P_{\rm ex}$ )。所以,流体在口型流动中的末端压力

损失( $\Delta P_{\rm end}$ )应为二者之和,即

$$\Delta P_{\rm end} = \Delta P_{\rm en} + \Delta P_{\rm ex} \tag{6}$$

本工作中,应用 Bagley 作图法<sup>[5]</sup>求取试样实验条件下的  $\Delta P_{\rm end}$ 。图 2 展示了试样在 100 C 时  $\Delta P$  与口型长径比(L/D)的关系。由图中可以看出, $\Delta P$  随着柱塞下降速率(V)的增大而增大,两者之间大致呈线性关系,直线在纵坐标上的截距即为  $\Delta P_{\rm end}$ 。挤出条件下试样的  $\Delta P_{\rm end}$ 值示于图 2。

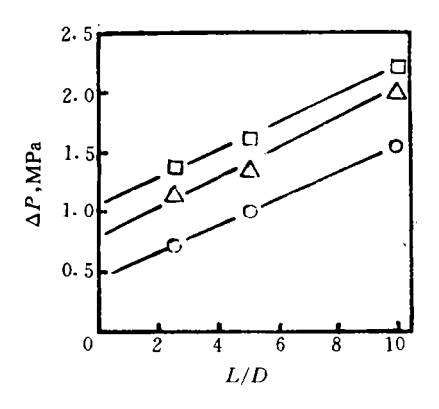


图 2 AP 与 L/D 的关系(100())

$$\langle \cdot \rangle - V = 10 \text{mm} \cdot \text{min}^{-1} : \triangle - V = 20 \text{mm} \cdot \text{min}^{-1} :$$

$$\Box - V = 30 \text{mm} \cdot \text{min}^{-1}$$

#### 2.3 α,的估算

由图 2 可知,试样在口型流动中的末端效应相当显著,因而在求取壁面剪切应力(Tw)时,应作末端修正。即

$$\tau_{\rm w} = \frac{(\Delta P - \Delta P_{\rm end})D}{4L} \tag{7}$$

定义表观剪切速率(汽)为

$$\dot{\gamma}_{\rm a} = \frac{VR_{\rm P}^2}{15R^3} \tag{8}$$

式中, $R_p$  和 R 单位为 mm,V 单位为 mm · min<sup>-1</sup>, $\dot{\gamma}_a$  单位为 s<sup>-1</sup>。

流动行为指数 n 可由下式确定

$$n = \frac{\mathrm{d}(\log \tau_{\mathrm{w}})}{\mathrm{d}(\log \gamma_{\mathrm{a}})} \tag{9}$$

若定义  $e = \Delta P_{\rm en}/4\tau_{\rm w}$ ,则可导出如下表达式

$$e = \frac{KL/D}{\beta - 1} \tag{10}$$

式中, $K = \Delta P_{\text{en}}/\Delta P_{\text{end}}$ , $\beta = \Delta P/\Delta P_{\text{end}}$ 。参照文献 6 和 7 报道的研究结果,本文中,取  $K \doteq 0.8$ 。

至此,将实验测量数据分别代人式(9)和 (10),可求取试样在挤出条件下的n和e值。然后,应用式(5),可估算出试样的人口自然收敛角,结果如表2所示。这里, $R_p$ =11.8mm, $2\theta$ =180°。

表 2 试样的 ΔP<sub>end</sub>,n,e 和 2α<sub>0</sub> 值

$\dot{\gamma}_{a,S}-1$	$\Delta P_{ m end}$ , MPa	a n	. е	2α <sub>0</sub> ,(°)
温度为 100 €				
92.83	0.458	0.216	3.35	52.88
139. 24	0.667	0.265	4.38	45.21
185.65	0.790	0.380	4.48	44.36
232.07	0.910	0.392	4.91	40.98
温度为 110 C				
92.83	0.458	0.233	2.70	66.83
139.24	0.618	0.286	3.78	50.49
185.65	0.708	0.394	4.06	48.71
232. 07	0.796	0.407	4. 42	45.33

#### 2.4 讨论

从表 2 中可以看出,在一定的温度条件 下, $\Delta P_{\rm end}$ 和 e 的值随着  $\dot{\gamma}_{\rm a}$  的增加而提高,而 2α。值却随之下降。这是因为,挤出速率的提 高,使得流体的入口收敛流动加剧,流体在拉 伸流动中所贮存的弹性应变能相应地增加, 末端效应增强,表现为e 值在一定范围内增 大;另一方面,入口流动中的粘性耗散也随着  $\gamma_a$  的增加而有所增大(n 值增大),尽管它可 令式(5)中的 $\frac{2}{n+1}$ 项的值减小,但同时又使 得 $\frac{\xi}{1-n}$ 项值提高,此消彼长,因而 n 值的改 变对  $2\alpha_0$  的影响明显地小于 e。这表明,粘弹 性流体的人口收敛流动存在环流区域(2α₀≪ 20),且在一定范围内随着挤出速率的提高而 有所扩大(2α。值减小)。在相同的挤出速率 下, $\Delta P_{\text{end}}$ 和 e 值随着温度的升高而有所下 降,而 n 值却随之增大。在入口收敛流动中, 聚合物流体的大分子沿流动方向伸直取向, 随着温度的升高,取向分子链的松弛加快,流

体的弹性减弱,导致  $\Delta P_{\text{end}}$ 和 e 值下降, $2\alpha_{0}$  值 也随之增大,环流区缩小。

Ma 等人[2]采用示踪技术,观察了 SBR 及其炭黑填充胶料在具有不同人口角口型挤 出过程中的人口流型,也获得类似于上述结 论的结果。图 3 是当温度为 100 C, Ŷa=  $136s^{-1}$ ,  $2\theta = 180$ °时, SBR 胶料(含炭黑 10%) 在口型人口前区的流型。由图中可度量出,试 样的 2a<sub>0</sub> 值约为 45°,这与表 2 中相应挤出条 件下的  $2\alpha_0$  值相当接近。在一定挤出条件下, 2α。 值主要地取决于试样材料的内部结构 (如支链长度及支化度)和配方。Ma 等人[2] 发现,当  $2\theta = 180^{\circ}$ ,  $T = 100 \, \text{C}$ ,  $\dot{\gamma}_a = 13.6 \, \text{s}^{-1}$ 时,NR 的  $2\alpha_0$  值最小,BR 次之,SBR 最大, 但三者间差距不太大。对于共混胶料,情况较 为复杂,除上述影响因素外,还与组分之间的 配比及相容性、分散和分布程度以及界面的 形态结构等密切相关。



图 3 SBR 胶料的入口流型<sup>2</sup>

#### 3 结语

在先前工作的基础上,提出了粘弹性流体自然收敛半角方程(3)以及简化的人口自然收敛半角方程(5)。式(5)中所含参变量容易测定,便于工程中实际应用。

考察了 NR/SBR 共混胎面胶在毛细管挤出流动中的末端效应。发现:试样的末端压力损失和人口校正因子随着 7。的增加而增大,随着温度的升高而明显下降。

应用式(5)估算了试样在挤出条件下的 人口自然收敛角。随着温度的升高和 ½ 的提 高, $2\alpha_0$  值相应地增大或减小,这主要取决于流体内弹性能贮存量的多寡。 在类似的操作条件下,估算的  $2\alpha_0$  值与文献报道的观测结果相当接近。

#### 参考文献

- 1 梁基照,非牛顿流体人口收敛流动分析,力学学报, 1990;22(1):79
- 2 Ma C Y et al. Flow patterns in elastomers and their carbon black compounds during extrusion through dies. Rubb. Chem. and Technol. 1985;58:815
- 3 郑 融. 毛细管进出口流动中聚合物熔体粘弹行为的唯

象研究. 华南工学院,1984

- 4 谭志明. 毛细管挤出过程中参变量与橡胶流变性能的相 关性研究. 华南工学院·1984
- 5 Bagley E B. End corrections in the capillary flow of polyethylene. J. Appl. Phys. .1957:28:624
- 6 Kamal M R and Hyun H. Capillary viscometry: A complete analysis including pressure and viscous heating effects. Polym. Eng. Sci. ,1980; 20:109
- 7 Santamaria A and Guzman G M. Melt rheology of high impact polystyrenes at high shear stress. Polym. Eng. Sci., 1982;22:365

收稿日期 1996-01-15

## Calculation of Natural Convergent Angle of NR/SBR Compound Flow during Extrusion

Liang Jizhao

(South China University of Science and Technology 510641)

Abstract The end effect of NR/SBR tread compound flow during capillary extrusion was investigated. Based on the previous work<sup>[1]</sup>, an equation for calculating the natural convergent semiangle of viscoelastic fluid was proposed and the natural convergent angle  $(2\alpha_0)$  of the sample at the inlet during extrusion was estimated. The results showed that  $2\alpha_0$  increased with the rise of the temperature and decreased with the increase of the shear rate.

Keywords compound, convergent flow, die, extrusion

### 特种混炼胶出售

- 一·**硅橡胶**: A. 耐 350 C 高温硅橡胶。B. 阻燃硅橡胶。C. 耐 250 C 水蒸汽硅橡胶。D. 透明硅橡胶。E. 印刷传热胶辊专用硅橡胶。F. 导电硅橡胶( $\rho_V=3.5\Omega \cdot cm$ )。G. 耐油硅橡胶。H. 游泳帽硅橡胶。I. 奶咀及医用硅橡胶。J. 高抗撕硅橡胶。K. 挤出电线硅橡胶。L. 常压静态使用耐温 200 C 硅橡胶,每吨 37000 元。M. 各种颜色、硬度可按用户要求。
- 二·**氟橡胶:**A. 耐油耐腐蚀 250 C 使用,短时间达 300 C。B. 硬度:65,70,75,80(各 ±5)。
- 三·其它混炼胶: A. 减震器油封往复运动专用胶。B. 纺织行业专用胶。C. 其它专用胶或提供技术服务。

### 宁波昌泰橡胶技贸有限公司

地址:浙江省宁波市江北区四横街17号

邮编:315020

联系人:欧世渊

电话、传真:(0574)7675711

呼机:0-1395749155